

بررسی هیدروکربن‌های نفتی کل در رسوبات پیرامونی اکوسیستم‌های مرجانی جزایر خلیج فارس (قشم، هنگام و لاوان)

مهدی سلطانی^۱، صابر قاسمی^{۲*} و احسان کامرانی^۳

(۱) دانشجوی دکتری رشته مدیریت محیط زیست، گروه محیط زیست، واحد بندرعباس، دانشگاه آزاد اسلامی، بندرعباس، ایران.

(۲) استادیار گروه محیط زیست، مرکز تحقیقات محیط زیست دریایی، واحد بندرعباس، دانشگاه آزاد اسلامی، بندرعباس، ایران.

*رایانه نویسنده مسئول مکاتبات: saberghasemi@gmail.com

(۳) استاد گروه محیط زیست، واحد بندرعباس، دانشگاه آزاد اسلامی، بندرعباس، ایران.

تاریخ پذیرش: ۱۴۰۱/۱۰/۰۵

تاریخ دریافت: ۱۴۰۱/۰۷/۱۷

چکیده

دومین زیستگاه غنی کره زمین پس از جنگل‌های استوایی به اکوسیستم‌های مرجانی اختصاص دارد. این زیست‌بوم در تعادل بخشیدن به میزان کربن و نیتروژن، حفظ خطوط ساحلی در برابر تخریب ناشی از هجوم مداوم امواج، طوفان، سیل، ایجاد محیط‌زیست دریایی، مواد مغذی برای زنجیره غذایی و هچنین تعادل بخشیدن به سیستم طریف طبیعت بسیار تاثیرگذار است. امروزه استخراج، بهره‌برداری و حمل و نقل نفت، نوش بهسازی را در تخریب سواحل مرجانی خلیج فارس بر جای گذاشته است. نمونه‌های رسوبات دریایی و ساحلی جزایر مرجانی قشم، هنگام و لاوان از عمق حدود ۵-۵ سانتی‌متری بستر به‌طور تصادفی طبق روش MOOPAM جمع‌آوری و غلظت هیدروکربن‌های نفتی کل توسط دستگاه UVF بر حسب میکروگرم بر گرم رسوب اندازه‌گیری شد. نوع بافت رسوبات نشان داد بالاترین درصد ذرات دانه‌ریز (سیلت + رس) در رسوبات دریایی و ساحلی جزیره لاوان به ترتیب ۵۱/۵۸ و ۵۱/۰۱ درصد است. میانگین غلظت‌های تشخیص داده شده TPH پایین‌تر از مقدار زمینه خطر زیست‌محیطی (۴ میکروگرم بر گرم) می‌باشد. بیشترین غلظت هیدروکربن‌های نفتی در ایستگاه‌های دریایی و ساحلی رسوبات جزیره لاوان مشاهده شد که می‌تواند به‌دلیل تاسیسات و فعالیت‌های صنعتی و شناورهای صیادی در این جزیره باشد. همچنین ارزیابی خطر زیست‌محیطی ناشی از آلودگی TPH بر موجودات آبزی با استفاده از شاخص‌های دستورالعمل‌های کیفیت رسوب و ضریب آلودگی نشان داد که رسوبات مورد مطالعه فاقد هرگونه اثرات بیولوژیکی نامطلوب بر موجودات آبزی هستند. بهره‌برداری‌ها، حمل و نقل دریایی، نشت نفت و مشتقان آن یکی از عمدۀ ترین دلایل تابودی و اثرات اکولوژیک منفی بر آبینگ‌های مرجانی خلیج فارس می‌باشد که این چالش ضرورت حفاظت از مناطق ساحلی و محیط‌زیست دریایی را با رویکرد توسعه پایدار آشکارتر می‌سازد.

واژه‌های کلیدی: آلودگی محیط‌زیست، اکوسیستم حساس، خلیج فارس، هیدروکربن‌های نفتی کل (TPHs).

مقدمه

از سواحل دارند و از طرفی در زمرة حساس‌ترین اکوسیستم‌ها نسبت به آلاینده‌های دریایی می‌باشند. امروزه وسعت صخره‌های مرجانی در دنیا به‌دلیل افزایش فعالیت‌های ماهی‌گیری، شکار، شیوع بیماری، تخریب زیستگاه، کاهش کیفیت آب، توسعه سواحل، گرمایش جهانی، اسیدی شدن

آبستگ‌های مرجانی ارایده‌هندۀ خدمات ضروری اکوسیستم از جمله گردشگری، تامین غذا و محصولات طبیعی برای میلیون‌ها نفر انسان می‌باشند (Hughes *et al.*, 2017) و زیستگاه مناسبی برای انواع جانوران آبزی به‌شمار می‌رond. این اکوسیستم‌های غنی نقش مهمی نیز در حفاظت

آبسنگ‌های مرجانی از جمله زیستگاه‌های حساس دریایی در خلیج فارس بهساب می‌آیند که بهمنظر پیشگیری از آلودگی نفتی در این منطقه آبی کشور، اجراء پایش دقیق کتوانسیون‌های بین‌المللی حفاظت از محیط زیست دریایی تصویب شده از جمله مارپل، مدیریت آب توازن کشتی‌ها، سیستم‌های مضر ضدخره و منطقه‌ای کویت ضرورت پیدا می‌کند. امروزه نمونه بارزی از انطباق موجودات دریایی با شرایط محیطی را می‌توان در اکوسیستم‌های مرجانی خلیج فارس مشاهده نمود. آبسنگ‌های مرجانی این ناحیه برای تقابل با آلودگی‌های وارد شده به محیط، به دو صورت تکه‌تکه^۳ و حاشیه‌ای^۴ دیده می‌شوند (Fatemi & Shokri, 2001). تنوع گونه‌ای و درصد پوشش مرجانی با نزدیک شدن به مناطق ساحلی کاهش می‌یابد که می‌تواند بیانگر این نکته باشد که حد آستانه ای محیطی، به حد نامطلوب می‌رسد (Fouda, 1997). همان‌گونه فعالیت‌های انسانی از جمله ترافیک نفت‌کش‌ها، کشتیرانی، تاسیسات و صنایع پتروشیمی و توسعه شهرهای ساحلی موجب شده که بخش وسیعی از آبسنگ‌های مرجانی خلیج فارس در معرض نابودی قرار گرفته (Monikh et al., 2013) و از وسعت‌شان کاسته شود. اثرات زیست‌محیطی آلاینده‌های نفتی خلیج فارس در پژوهش‌های محققین متعددی مورد بررسی قرار گرفته است. برای نمونه در مطالعات سید‌هشت‌رودی و همکاران (۱۳۹۶) منشا غلظت هیدروکربن‌های آروماتیک حلقوی^۵ در رسوبات به میزان ۲۳–۹۴ نانوگرم بر گرم و در نمونه‌های مرجان *Acropora downingi* به میزان ۳۳–۱۲۳ نانوگرم بر گرم می‌تواند به‌دلیل ورود محصولات ناشی از سوختن ترکیبات نفت باشد. در پژوهش میرکیلی و حاجی‌زاده‌ذاکر (۱۳۹۲) نشان داد غلظت TPHs در رسوبات ساحلی جزیره خارک از مقادیر بسیار زیاد ۵۶۲۴ میکروگرم بر گرم در مناطق مجاور پایانه‌های نفتی تا مقادیر بسیار کم در حد چند میکروگرم بر گرم در مناطق دورتر از فعالیت‌های نفتی متغیر است و به طور عمده دارای منشا نفت‌های فسیلی است. بیش از ۲۰۰ جزیره بزرگ و کوچک در خلیج فارس قرار دارد (نامی، ۱۳۹۶). بررسی‌ها نشان می‌دهد شناخت نادرست از ظرفیت‌ها و پتانسیل‌های روند توسعه اقتصادی موجب شده است که رسوبات سواحل، جزایر و اکوسیستم‌های آبی خلیج

آب و آلودگی رو به کاهش است (Hoegh-Guldberg et al., 2017; Anthony et al., 2020). سلامت این اکوسیستم‌ها با پارامترهای محیطی مانند دما، شوری و اکسیژن محلول همراه با کیفیت رسوبات مشخص می‌شود (Ranjbar-Jafarabadi et al., 2017). رسوبات به‌دلیل نوع ساختارشان مکانی مناسب برای تجمع آلاینده‌ها، از جمله آلاینده‌های هیدروکربنی به حساب می‌آیند (Mille et al., 2007). طبق تعریف آژانس حفاظت از محیط‌زیست ایالات متحده آمریکا^۱ هیدروکربن‌های نفتی کل^۲ اصطلاحی است که برای توصیف ترکیبات هیدروکربنی مشتق شده از منابع نفتی استفاده می‌شود. حضور آلاینده‌های آلی، به‌ویژه هیدروکربن‌های نفتی در اکوسیستم‌های بسیار حساس و آسیب‌پذیر، همچنان یک مسئله جدی است (Rhind, 2009; Paluselli et al., 2018). استفاده غیرمتوازن بشر از دریا و طیف وسیع آلاینده‌های ورودی و تخلیه شده به آب‌ها، علاوه بر کاهش توان خودپالایی اکوسیستم‌های دریایی، امکان خنثی‌سازی اثرات ناشی از ورود آلاینده‌ها را نیز کمرنگ‌تر نموده است. برآورد شده است سالیانه حدود ۴۶۳ میلیون تن نفت به صورت ناخواسته از طریق حمل و نقل به دریاها تخلیه می‌گردد (Carpenter, 2019) که این هیدروکربن‌ها به‌دلیل خاصیت آب‌گریزی، انجلاپذیری و سمیت می‌توانند در رسوبات تجمع پیدا کنند (Mirza et al., 2014) و با حضور در زنجیره غذایی موجودات دریایی، سلامت آنها را به مخاطره اندازد (Paluselli et al., 2018). در حال حاضر آلودگی رسوبات به TPHs یکی‌دیگر از منابع اصلی استرس سلامت اکوسیستم‌های مرجانی به حساب می‌آیند (Rodríguez-Barroso et al., 2010; Yang et al., 2012; Noman et al., 2022). فشار فرآینده و سریع عوامل انسان ساخت ناشی از ورود منابع نقطه‌ای و غیر نقطه‌ای آلاینده‌ها از مناطق بالادستی به دریاها به‌طور بالقوه از ظرفیت‌های فعلی بسیاری از اکوسیستم‌های ساحلی برای سازگاری فراتر رفته که این امر می‌تواند در نهایت منجر به آلودگی شدید محیطی و تخریب محیط‌زیست این مناطق شود (Kennish, 2002; Halpern et al., 2008; Richmond et al., 2018) ارزیابی ریسک آلودگی رسوبات در اکوسیستم‌های حساس ساحلی نظیر آبسنگ‌های مرجانی و درک روشنی از اهمیت بیولوژیکی و اکولوژیکی آن بسیار حائز اهمیت است.

³ Patch reef⁴ Fringing reef⁵ Polycyclic Aromatic Hydrocarbons (PAHs)¹ USEPA² Total Petroleum Hydrocarbons (TPHs)

۱۳۹۴؛ مرادی و همکاران، ۱۳۹۵). جزیره هنگام در کرانه جنوبی جزیره قشم با وسعت حدود ۳۱ کیلومترمربع واقع شده و پوشش مرجانی آن عمدها حاشیه‌ای است (مرادی و همکاران، ۱۳۹۵). تنها فعالیت اقتصادی در جزیره هنگام که اکثر اهالی به آن مشغول هستند، ماهی‌گیری و صیادی است. اسکله کندالو تنها راه ارتباطی ساکنان جزیره و گردشگران فراوانی است که از قشم عازم هنگام هستند. جزیره لاوان نیز یکی از مناطق مهم چهارگانه عملیات نفتی در خلیج فارس به‌شمار می‌رود که دارای تاسیسات عظیمی برای پالایش، حمل و نقل و بارگیری و صدور نفت خام است. جزیره مرجانی لاوان در فاصله ۱/۵ کیلومتری پناهگاه حیات وحش و تلااب بین‌المللی شیدور قرار گرفته (سازمان جغرافیایی نیروهای مسلح، ۱۳۸۲) و عمدۀ آبسنگ‌های مرجانی آن از نوع حاشیه‌ای است (مرادی و همکاران، ۱۳۹۵).

فارس تحت تاثیر آلاینده‌های نفتی قرار گیرد (سیده‌شتودی و همکاران، ۱۳۹۶). بنابراین هدف از پژوهش حاضر بررسی آلاینده‌های هیدروکربن‌های نفتی کل (TPH) موجود در رسوابات پیرامونی جزایر قشم، هنگام و لاوان واقع در استان هرمزگان، به‌عنوان برخی از مهم‌ترین زیستگاه‌های حساس زیست‌محیطی آبسنگ‌های مرجانی خلیج فارس می‌باشد.

مواد و روش‌ها

محدوده مطالعاتی

محدوده مطالعاتی تحقیق حاضر شامل سه جزیره قشم، هنگام و لاوان می‌باشد. جزیره قشم با وسعت ۱۴۷۷ کیلومترمربع، به‌عنوان بزرگ‌ترین جزیره خلیج فارس است که از نظر وضعیت مرجانی دارای پوشش غنی می‌باشد (Kavousi *et al.*, 2011) و عمدۀ آبسنگ‌های مرجانی جزیره قشم از نوع حاشیه‌ای و تکه‌تکه است (چگونیان و همکاران، ۱۳۹۵).



شکل ۱. محدوده مطالعاتی

مختصات آنها توسط GPS تعیین و ثبت شد (جدول ۱). همچنین از الگوی ترانسکت خطی برای نمونه‌برداری تصادفی استفاده گردید (شکل ۱). در هر ایستگاه نمونه‌های رسوب دریا توسط چنگک فولادی ضدزنگ و نوین از عمق ۵۰-۵۰ سانتی‌متر بستر با سه تکرار برداشت شدند.

روش کار

در ابتدا ضمن بازدید میدانی از محدوده مطالعاتی در بهار ۱۴۰۱، طی عملیات غواصی با توجه به مهم‌ترین مکان‌های پراکنش اکوسیستم‌های مرجانی (اعماق کمتر از شش متر)، ۳ ایستگاه دریایی در جزیره قشم، ۳ ایستگاه در جزیره هنگام و ۲ ایستگاه در جزیره لاوان به صورت تصادفی انتخاب و

جدول ۱. مختصات ایستگاه‌های نمونه‌برداری از رسوابات دریایی و ساحلی در جزایر مورد مطالعه

توضیحات	رسوبات دریایی				ایستگاه	جزیره
	UTM		UTM			
	Y	X	Y	X		
صیادی، گردشگری ساحلی و دریایی، غواصی، لنج‌سازی، پتروشیمی، پالایشگاه گاز، فعالیت بندری و معادن	۲۹۵۲۴۴۱	۳۹۴۳۶۶	۲۹۵۱۹۵۵	۳۹۴۲۰۶	۱	قشم
	۲۹۶۱۹۱	۴۴۶۵	۲۹۵۱۴۹۷	۴۵۰۱۳	۲	
	۲۹۷۹۳۷۷	۴۲۸۰۰۵	۲۹۷۹۱۳۴	۴۲۷۸۸۳	۳	
صیادی، گردشگری ساحلی و دریایی، غواصی، آب شیرین‌کن	۲۹۵۱۱۳۱	۳۸۸۳۲۲	۲۹۵۱۳۸۲	۳۸۸۲۶۴	۱	هنگام
	۲۹۵۱۳۴۲	۳۹۰۴۷۹	۲۹۵۱۸۷	۳۹۰۷۹۱	۲	
	۲۹۴۸۹۸۹	۳۹۱۹۳۳	۲۹۴۹۴۵۸	۳۹۲۱۵۰	۳	
صیادی، گردشگری ساحلی و دریایی، غواصی، پالایشگاه نفت، فعالیت بندری	۲۹۶۵۶۹۰	۷۳۵۰۸۱	۲۹۶۵۶۲۸	۷۳۵۴۲۹	۱	لاوان
	۲۹۶۵۸۶۰	۷۳۶۵۲۱	۲۹۶۵۸۶۹	۷۳۶۸۲۳	۲	
	۲۹۶۸۸۰۱	۷۳۳۳۶۹	—	—	۳	

خشک شود. سپس رسوب حاصل را توزین نموده و در داخل الکها که بر روی هم از بالا به پایین روی دستگاه لرزانده قرار گرفته اند ریخته شد و به مدت ۱۵ دقیقه لرزاندۀ روش شده تا جداسازی و عمل دانه بندی انجام شود. سپس الکها را از روی لرزاندۀ الک جدا کرده و مقدار رسوبات باقیمانده داخل هر الک را توزین نموده و در نهایت درصد انواع رسوبات مشخص شد. کلیه آنالیزهای ذکر شده در بالا برای هر نمونه به صورت سه بار تکرار صورت پذیرفت (MOOPAM, 2010).

ارزیابی شدت آلودگی در رسوبات

در این پژوهش با استفاده از دو شاخص دستورالعمل های استانداردهای کیفیت رسوب^۳ و ضریب آلودگی^۴، ارزیابی شدت و خطر زیست محیطی به منظور بررسی اثرات بیولوژیکی نامطلوب و یا درجه سمیت رسوبات به آلاینده های نفتی مورد ارزیابی قرار گرفت. در ابتدا جهت بررسی کیفیت رسوب با استفاده از رابطه (۱)، ارتباط بین غلظت آلاینده در نمونه رسوب و اثرات بیولوژیکی نامطلوب ارزیابی شد.

$$PEL_q = \left(\frac{C}{P} \right) \quad (1)$$

بر اساس رابطه، PEL_q ^۵ مقدار سمیت هیدروکربن های نفتی، C بیانگر غلظت هیدروکربن های نفتی موجود در نمونه های رسوبی (بر حسب میکرو گرم بر گرم) و P مقدار (بر حسب میکرو گرم بر گرم) می باشد. این رابطه بر مبنای مقادیر مشخصی از دامنه اثر کم یا حد تاثیر آستانه (TEL)^۶ و دامنه اثر متوسط و یا حداثرات احتمالی (PEL) تعریف می شود. مقدار TEL بیانگر غلظت آلاینده یا یک اثر نسبتاً پایین در جوامع زیستی و PEL به عنوان غلظت آلاینده با اثرات سمی بالا برآورده است (Monazami-Tehrani *et al.*, 2012).

Long و همکاران (۱۹۹۵) غلظت TPHs در رسوبات خلیج فارس را به چهار بخش اصلی تقسیم بندی کردند که بر اساس این تقسیم بندی مقادیر TPHs کمتر از ۱۰ میکرو گرم بر گرم به عنوان زمینه طبیعی و یا TEL و مقادیر بیشتر از ۵۰۰ میکرو گرم بر گرم به عنوان PEL در نظر گرفته شده است. بر مبنای همین ضریب، درجه بندی اثرات زیستی آلاینده های نفتی موجود در رسوبات برای موجودات آبی در جدول (۲) توسط Monazami-Tehrani و همکاران (۲۰۱۲) تقسیم بندی شده است.

همچنین پس از جزر کامل آب دریا ۳ ایستگاه در سواحل جزیره قشم، ۳ ایستگاه در سواحل جزیره هنگام و ۳ ایستگاه در سواحل جزیره لاوان انتخاب شد و با استفاده از یک بیلچه استیل ضدزنگ نمونه رسوب در یک کوادرات ۲۰×۲۰ سانتی متری و از عمق حدود ۵-۰ سانتی متری به طور تصادفی از ایستگاه مورد نظر جمع آوری شدند. برای نمونه های ساحل در هر ایستگاه فقط یک نمونه و برای نمونه های دریابی، جهت بالابردن میزان دقت در مقدار متغیر، از هر ایستگاه سه نمونه رسوب تهیه شد و میانگین سه نمونه به عنوان مقدار متغیر ثبت گردید. کلیه نمونه های رسوب دریابی و ساحلی در ظروف آلومنیومی نگهداری و از طریق یخدان به آزمایشگاه اداره کل حفاظت محیط زیست استان هرمزگان منتقل شدند.

در آزمایشگاه نمونه ها به مدت سه شبانه روز تحت دمای ۱۵ درجه سانتی گراد نگهداری و سپس ۲۰ گرم از نمونه خشک فریز درایر^۱ شده (تحت خلا و برودت ۵۰-۵۰ درجه سانتی گراد) و همگن شده توسط هاون چینی درون ویال دستگاه مایکروویو منتقل و سپس به هر یک از آنها ۴۰ میلی لیتر حلال های هگزان نرمال و دی کلرومتان (نسبت ۱:۱) اضافه گردید. در مرحله بعد به منظور سنجش عملکرد دستگاه و ارزیابی بهبود درصد استخراج (کنترل کیفیت)، در ابتدا غلظت های مختلفی از محلول کراپزن (محلول استاندارد) به دستگاه داده شد و دستگاه میزان جذب را با رسم یک منحنی کالیبراسیون نشان داد. پس از آن غلظت هیدروکربن های نفتی کل با استفاده از دستگاه فلورسانس اشعه ماوراء بینش^۲ تحت طول موج ۳۱۰ نانومتر و طول موج انتشار ۳۶۰ نانومتر به صورت دو بار تکرار و بر حسب واحد نانو گرم بر میلی لیتر (ppb) قرائت و در نهایت مقدار آن بر حسب میکرو گرم بر گرم ($\mu\text{g/g}$) وزن خشک رسوب محاسبه شد.

در این پژوهش به منظور تعیین دانه بندی رسوبات از سری الک های با مش ۱۰، ۱۴، ۱۸، ۲۵، ۳۵، ۴۵، ۸۰، ۱۲۰ و ۱۷۰ و ۲۳۰ استفاده شد. بدین صورت که در ابتدا مقداری از نمونه رسوب داخل ظرف استوانه ای ۵۰۰ یا ۱۰۰ سی سی ریخته و به آن مقداری آب اکسیژنه برای از بین بردن ماده آلی اضافه شد. در ادامه ظرف استوانه ای را در داخل آون در دمای ۷۰ درجه سانتی گراد به مدت ۴۸ ساعت قرار داده شد، تا

۴ Contamination Factor (CF)

۵ Probable Effect Level

۶ Threshold Effect Level

۱ Freeze-dry

۲ Ultraviolet Fluorescence Spectroscopy (UVF)

۳ Sediment Quality Guidelines (SOGs)

پرسی هیدروکربن‌های نفتی کل در رسوبات پیرامونی اکوسیستم‌های مرجانی جزایر خلیج فارس (قشم، هنگام و لوان) /۵۱

جدول ۲. رده‌بندی اثر سمیت هیدروکربن‌های نفتی بر موجودات آبزی

PELq	PELq < ۰/۱	۰/۱ < PELq > ۰/۵	۰/۵ < PELq > ۱/۵	PELq > ۱/۵
شدت اثر نامطلوب	بدون اثر	کم	متوسط	شدید

منبع: Monazami-Tehrani *et al.*, 2012

هیدروکربن‌های نفتی کل در نمونه‌های رسوبی (بر حسب میکروگرم بر گرم) و C_n غاظت هیدروکربن‌های نفتی کل در رسوبات طبیعی (بر حسب میکروگرم بر گرم) است. این ضریب بر اساس درجه آلودگی به چهار گروه تقسیم‌بندی می‌شود (جدول ۳).

در مرحله بعد ضریب آلودگی رسوبات جهت ارزیابی آلودگی محیط‌زیست نسبت به یک ماده آلینده خاص با استفاده از رابطه (۲) محاسبه شد (Hakanson, 1980).

$$C_f = \left(\frac{C_{0-1}}{C_n} \right) \quad \text{رابطه (۲)}$$

بر اساس رابطه، C_f ضریب آلودگی، C_{0-1} میانگین غلظت

جدول ۳. رده‌بندی درجه آلودگی هیدروکربن‌های نفتی بر اساس ضریب آلودگی

Cf	$Cf < ۱$	$۱ \leq Cf < ۳$	$۳ \leq Cf < ۶$	$Cf > ۶$
درجه آلودگی	کم	متوسط	قابل توجه	زیاد

منبع: Hakanson 1980

در آب پس از چسبیدن به ذرات رسوب پدید می‌آید. از آنجایی که آب‌های نواحی کم‌عمق ساحلی معمولاً مملو از مواد معلق است، بهمین دلیل شرایط رسوب‌گذاری برای ترکیبات نفتی مطلوب است (Tolosa *et al.*, 2004; Mille *et al.*, 2007). نتایج حاصل از دانه‌بندی رسوبات دریایی و ساحلی در جدول (۴) آورده شده است.

در این تحقیق تجزیه و تحلیل‌های آماری با استفاده از نرم‌افزار SPSS نسخه ۲۲ انجام شد و برای ترسیم نمودارها نیز از نرم‌افزار Excel استفاده گردید.

نتایج

بافت نمونه‌های رسوب

یکی از پارامترهای موثر در تمرکز و انباشت آلینده‌ها، نوع بافت رسوبات است. رسوب‌گذاری ترکیبات نفتی موجود

جدول ۴. مقادیر میانگین دانه‌بندی در نمونه‌های مطالعاتی

رسوبات ساحلی سیلت+رس (%)	ماسه (%)	ایستگاه	رسوبات دریایی سیلت+رس (%)		ماسه (%)	ایستگاه	محدوه‌های مطالعاتی (جزایر)
			رسوبات دریایی سیلت+رس (%)	ماسه (%)			
۴۷/۹۷	۵۲/۰۳	۱	۴۶/۸۳	۵۳/۱۷	۱		
۵۳/۶۸	۴۶/۳۲	۲	۴۵/۸۹	۵۴/۱۱	۲		
۴۴/۹۸	۵۵/۰۲	۳	۴۶/۷۴	۵۳/۲۶	۳		
۴۸/۸۸	۵۱/۱۲	میانگین	۴۶/۴۹	۵۳/۵۱	میانگین		
۴۳/۰۵	۵۶/۹۵	۱	۴۶/۱۸	۴۳/۸۲	۱		
۳۶/۰۷	۶۳/۹۳	۲	۴۸/۴۹	۵۱/۵۱	۲		
۵۰/۸۴	۴۹/۱۶	۳	۴۷/۵۵	۵۲/۴۵	۳		
۴۳/۳۲	۵۶/۶۸	میانگین	۵۰/۷۴	۴۹/۲۶	میانگین		
۵۳/۸۵	۴۶/۱۵	۱	۴۹/۳۱	۴۰/۶۹	۱		
۵۲/۶۱	۴۷/۳۹	۲	۴۳/۸۵	۵۶/۱۵	۲		
۴۶/۵۶	۵۳/۴۴	۳	-	-	-		
۵۱/۰۱	۴۸/۹۹	میانگین	۵۱/۵۸	۴۸/۴۲	میانگین		

< هنگام > قشم و محدوده میانگین ذرات ماسه از ۴۸/۴۲ درصد تا ۵۳/۵۱ درصد بوده است. بیشترین میانگین درصد

در رسوبات دریایی میانگین روند تغییرات از بیشترین تا کمترین درصد ذرات دانه‌ریز سیلت و رس در جزایر لوان

۵۲/ محله تحقیقات منابع طبیعی تجدید شونده، سال سیزدهم، شماره ۲، پائیز و زمستان ۱۴۰۱ (پایانی سی و هشت)

آورده شده است. بر این اساس میانگین غلظت TPHs در رسوبات دریایی در جزیر قشم، هنگام و لاوان به ترتیب $2/33 \pm 0/29$, $2/33 \pm 0/123$, $2/72 \pm 0/172$ و $2/71 \pm 0/347$ میکروگرم بر گرم) و میانگین غلظت آن در رسوبات ساحلی در سه جزیره مذکور به ترتیب $2/33 \pm 0/066$, $1/96 \pm 0/1$, $2/31 \pm 0/1$ و $2/71 \pm 0/2$ میکروگرم بر گرم) به دست آمد.

سیلت و رس بافت رسوبات ساحلی در جزیره لاوان به میزان $51/01$ درصد و کمترین آن در جزیره هنگام با $43/32$ درصد و برای درصد ذرات تشکیل دهنده ماسه به ترتیب میانگین آن در جزیره هنگام $<$ قشم $<$ لاوان است.

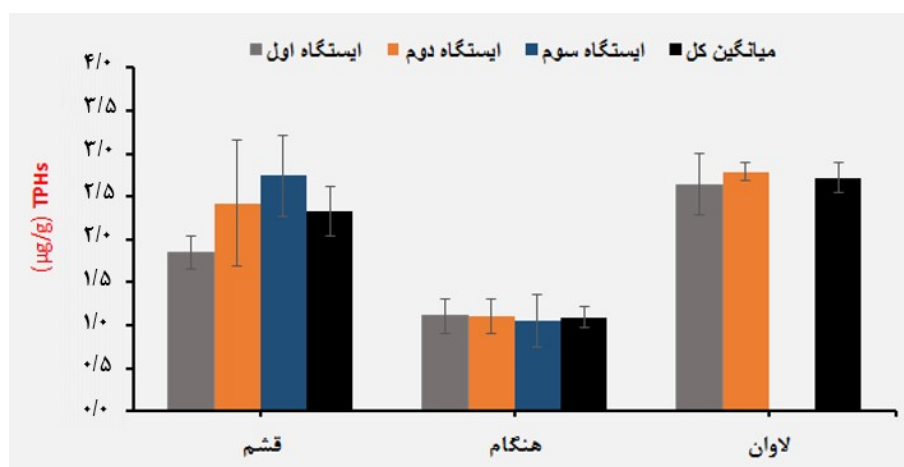
غلظت هیدروکربن‌های نفتی کل در رسوب

میزان غلظت هیدروکربن‌های نفتی کل موجود در رسوبات دریایی و ساحلی در جدول (۵) و شکل‌های ۲ و ۳

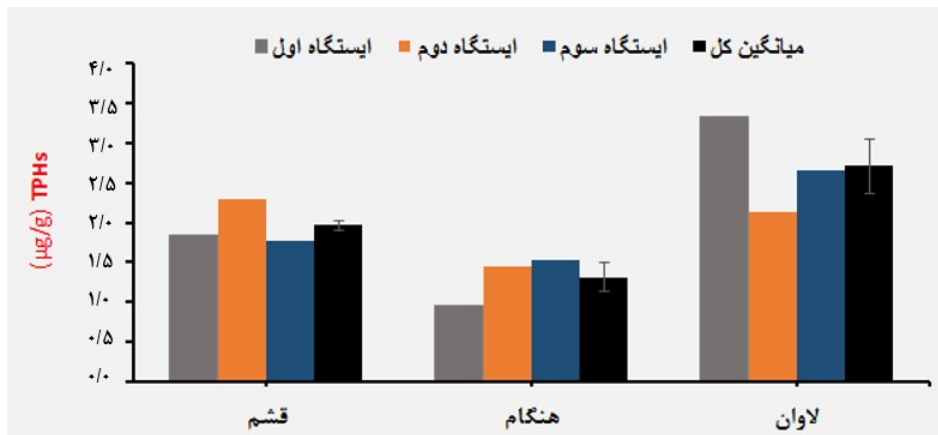
جدول ۵. مقادیر میانگین TPHs در نمونه‌های مطالعاتی*

محدوده‌های مطالعاتی (جزیر)	رسوبات دریایی		رسوبات ساحلی		(μg/g) TPHs
	ایستگاه	غلظت	ایستگاه	غلظت	
قشم	۱	(۰/۱۹) ۱/۸۴	۱	(۰/۱۹) ۱/۸۴	۱/۸۳
هنگام	۲	(۰/۷۳۵) ۲/۴۲	۲	(۰/۷۳۵) ۲/۷۴	۲/۲۹
لاوان	۳	(۰/۴۷۳) ۲/۷۴	۳	(۰/۴۷۳) ۲/۳۶	۱/۷۶
میانگین کل (n=۹)	میانگین کل (n=۳)	(۰/۲۹) ۲/۳۳	میانگین کل (n=۹)	(۰/۲۹) ۱/۹۶	(۰/۰۶۶) ۱/۹۶
میانگین کل (n=۹)	میانگین کل (n=۳)	(۰/۱۱) ۱/۱۱	میانگین کل (n=۹)	(۰/۱۱) ۱/۱۱	۰/۹۵
میانگین کل (n=۹)	میانگین کل (n=۳)	(۰/۱۱) ۱/۱۱	میانگین کل (n=۹)	(۰/۱۱) ۱/۰۹	۱/۴۴
میانگین کل (n=۹)	میانگین کل (n=۳)	(۰/۱۰) ۱/۰۵	میانگین کل (n=۹)	(۰/۱۰) ۱/۰۹	۱/۰۳
میانگین کل (n=۹)	میانگین کل (n=۳)	(۰/۱۲۳) ۱/۰۹	میانگین کل (n=۹)	(۰/۱۲۳) ۱/۰۹	(۰/۱۸) ۱/۳۱
میانگین کل (n=۶)	میانگین کل (n=۳)	(۰/۳۶۱) ۲/۶۴	میانگین کل (n=۶)	(۰/۳۶۱) ۲/۶۴	۳/۳۴
میانگین کل (n=۶)	میانگین کل (n=۳)	(۰/۱۰۶) ۲/۷۹	میانگین کل (n=۶)	(۰/۱۰۶) ۲/۷۹	۲/۱۴
میانگین کل (n=۶)	میانگین کل (n=۳)	—	میانگین کل (n=۶)	—	۲/۶۶
میانگین کل (n=۶)	میانگین کل (n=۳)	(۰/۱۷۲) ۲/۷۲	میانگین کل (n=۶)	(۰/۱۷۲) ۲/۷۲	(۰/۳۴۷) ۲/۷۱

* اعداد داخل پرانتز مقدار انحراف معیار در نمونه‌های جمع‌آوری شده می‌باشد.



شکل ۲. مقادیر غلظت هیدروکربن‌های نفتی کل در نمونه‌های مطالعاتی از رسوبات دریایی



شکل ۳. مقادیر غلظت هیدروکربن‌های نفتی کل در نمونه‌های مطالعاتی از رسوبات ساحلی

آلدگی استفاده شد.

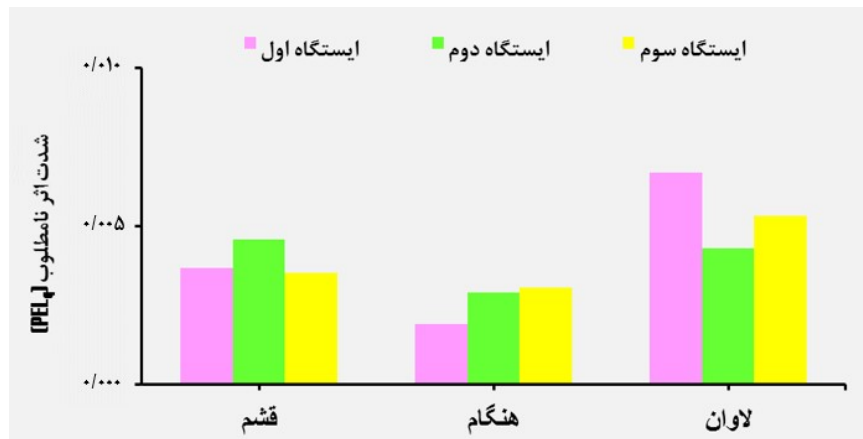
دستورالعمل‌های استاندارد کیفیت رسوبات

بر اساس محاسبات صورت گرفته جهت ارزیابی کیفیت رسوبات و اثرات بیولوژیک TPH بر موجودات آبزی مقدار ۵۰۰ میکروگرم بر گرم به عنوان PEL برای رابطه (۱) در نظر گرفته شد که مطابق جدول (۲) غلظت این آلاینده در تمام رسوبات ایستگاه‌های مورد مطالعه در محدوده فاقد اثرات نامطلوب بیولوژیکی بر زندگی موجودات آبزی هستند (شکل‌های ۴ و ۵).

نتایج حاکی از آن است در رسوبات دریابی بیشترین میانگین غلظت TPH در جزیره لاوان به میزان ۲/۷۲ میکروگرم بر گرم رسوب و پایین‌ترین میانگین غلظت با ۱/۰۹ میکروگرم بر گرم رسوب در جزیره هنگام مشاهده شد. بر اساس اندازه‌گیری‌های صورت‌گرفته محدوده میانگین هیدروکربن‌های نفتی کل از بیشترین تا کمترین غلظت به ترتیب در رسوبات ساحلی جزیره‌های لاوان < قشم < هنگام است. در ادامه بررسی‌ها به منظور ارزیابی آلدگی نفتی رسوبات از شاخص‌های دستورالعمل کیفیت رسوب و ضریب



شکل ۴. نتایج حاصل از ارزیابی کیفیت رسوبات دریابی به هیدروکربن‌های نفتی در جزایر مورد مطالعه



شکل ۵. نتایج حاصل از ارزیابی کیفیت رسوبات ساحلی به هیدروکربن‌های نفتی در جزایر مورد مطالعه

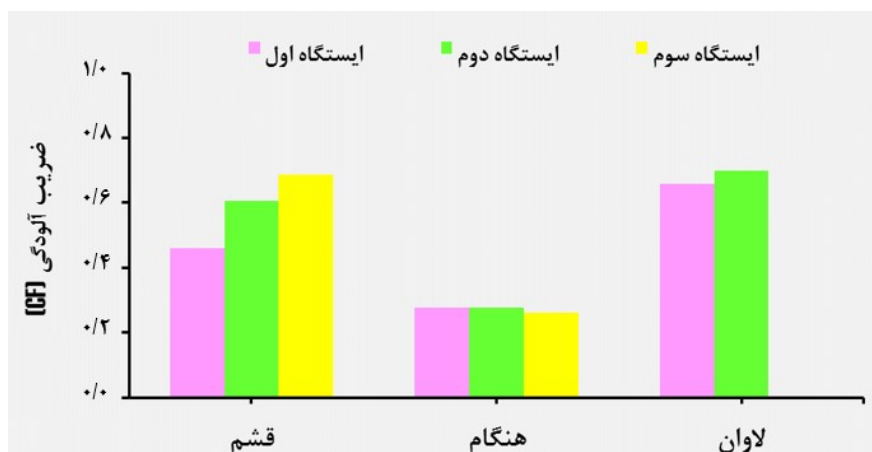
ساحلی پژوهش حاضر در رده آلودگی کم قرار دارد

(شکل‌های ۶ و ۷).

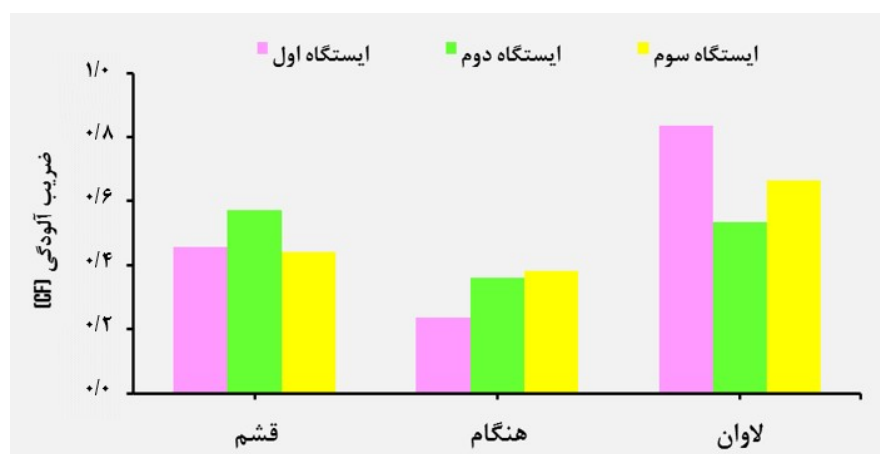
برابر محاسبات انجام شده با استفاده از رابطه (۲) و جدول

(۳) درجه آلودگی در تمام رسوبات ایستگاه‌های دریایی و

ضریب آلودگی



شکل ۶. نتایج حاصل از ضریب آلودگی رسوبات دریایی به TPH در محدوده مطالعه



شکل ۷. نتایج حاصل از ضریب آلودگی رسوبات ساحلی به TPH در محدوده مطالعه

بررسی هیدروکربن‌های نفتی کل در رسوبات پیرامونی اکوسیستم‌های مرجانی جزایر خلیج فارس (قسم، هنگام و لوان) / ۵۵

رسوبات دریایی را با توجه به غاظت هیدروکربن‌های نفتی کل مطابق جدول (۶) به سه گروه تقسیم کرد.

مقایسه نتایج میانگین TPH در رسوبات مورد مطالعه با میانگین خلیج فارس و جهان بر مبنای پژوهش‌های صورت گرفته Goldberg (۱۹۷۶)

جدول ۶. طبقه‌بندی مناطق بر اساس غلظت TPH

مقادیر (µg/g) TPH	وضعیت رسوبات
۱-۴	رسوبات اقیانوئی غیرآلوده
<۱۰۰	رسوبات ساحلی با آلودگی متوسط
>۱۲۰۰	رسوبات خیلی آلوده

منبع: Goldberg, 1976

برابر این طبقه‌بندی غلظت ۱۰-۱۵ میکروگرم بر گرم به عنوان میزان استاندارد TPH در رسوبات خلیج فارس در نظر گرفته شد.

همچنین Massoud و همکاران (۱۹۹۶) غلظت TPH در رسوبات خلیج فارس را مطابق جدول (۷) به چهار دسته تقسیم‌بندی کردند.

جدول ۷. طبقه‌بندی مناطق بر اساس غلظت TPH

مقادیر (µg/g) TPH	درصد آلودگی منطقه
۱۰-۱۵	غیرآلوده (مقدار زمینه)
۱۵-۵۰	آلودگی کم
۵۰-۲۰۰	آلودگی متوسط
>۲۰۰	آلودگی شدید

منبع: Massoud et al., 1996

مورود مطالعه جز مناطق غیرآلوده به هیدروکربن‌های نفتی قرار دارند (جدول ۸).

بر اساس دسته‌بندی‌های Goldberg (۱۹۷۶) و Massoud و همکاران (۱۹۹۶) کلیه ایستگاه‌های رسوبات دریایی جزایر

جدول ۸. مقایسه میانگین غلظت TPH در رسوبات دریایی جزایر مورود مطالعه با میانگین غلظت استاندارد آن در رسوبات جهانی و رسوبات خلیج فارس

میانگین غلظت TPHs (µg/g)	جزایر مورود مطالعه در پژوهش حاضر	میانگین غلظت استاندارد TPH در رسوبات دریایی جهان (Goldberg, 1976)	میانگین غلظت استاندارد TPH در رسوبات دریایی خلیج فارس (Massoud, 1996)
۱/۹۶	قسم		
۱/۳۱	هنگام		
۲/۷۱	لowan		
۴		میانگین غلظت استاندارد TPH در رسوبات دریایی جهان (Goldberg, 1976)	
۱۰		میانگین غلظت استاندارد TPH در رسوبات دریایی خلیج فارس (Massoud, 1996)	

هیدروکربن‌های نفتی کل را طبق جدول (۹) به سه گروه تقسیم‌بندی نمودند.

در دسته‌بندی دیگری Commandatore و Esteves (۲۰۰۷) شدت آلودگی رسوبات مناطق ساحلی به

جدول ۹. تقسیم‌بندی رسوبات مناطق ساحلی به آلودگی TPH

میزان TPH (µg/g)	شدت آلودگی
TPH < ۱۰	کم
۱۰ ≤ TPH < ۱۰۰	کم تا متوسط
۱۰۰ ≤ TPH < ۱۰۰۰	متوسط تا زیاد

منبع: Commandatore & Esteves, 2007

۵/ محله تحقیقات منابع طبیعی تجدید شونده، سال سیزدهم، شماره ۲، پائیز و زمستان ۱۴۰۱ (پاییز سی و هشت)

کل از آلودگی کمی برخوردار می‌باشند (جدول ۱۰).

بر طبق دسته‌بندی بالا مشخص شد رسوبات ساحلی کلیه ایستگاه‌ها در جزایر مورد مطالعه از نظر هیدروکربن‌های نفتی

جدول ۱۰. مقایسه میانگین غلظت TPH در رسوبات ساحلی جزایر مورد مطالعه با میانگین غلظت استاندارد آن در رسوبات مناطق ساحلی جهان

میانگین غلظت TPHs (µg/g)	جزایر مورد مطالعه در پژوهش حاضر	قسم
۱/۹۶		هنگام
۱/۳۱		لاآن
۲/۷۱		
۱۰	(Commendatore & Esteves, 2007)	میانگین غلظت استاندارد TPH در رسوبات مناطق ساحلی جهان

تاسیسات نفتی موجود در این جزیره می‌باشد، زیرا رسوبات نواحی ساحلی در نزدیکی تاسیسات و صنایع نفتی می‌توانند حاوی غلظت‌های مختلفی از هیدروکربن‌های نفتی بهدلیل فرآیند احتراق و نشت نفت باشند (Tolosa *et al.*, 2004). بهطور کلی تفاوت کمتر بودن میانگین غلظت TPH رسوبات ساحلی در مقایسه با رسوبات دریایی جزایر مرجانی قشم و لاآن را می‌توان بهطور عمده ناشی از فرآیندهای مختلف نوری، فیزیکی، شیمیایی و بیولوژیکی دانست که این فرآیندها می‌توانند سبب تجزیه این آلاینده‌های آلی شوند (محمدی‌گلگش و همکاران، ۱۳۹۷).

شرایط خاصی نظیر عمق کم، شوری و درجه حرارت بالا، کدورت زیاد و ورود انواع مختلف آلاینده‌های زیست‌محیطی از جمله هیدروکربن‌های نفتی، اکوسیستم خلیج فارس این آبراهه استراتژیک جهانی را تحت تاثیر قرار داده است. با توجه به اینکه عمق آب در کلیه ایستگاه‌های نمونه-برداری جزایر مورد مطالعه کمتر از ۶ متر بوده و طبق تعریف کنوانسیون رامسر از تالاب، مناطق دریایی که عمق‌شان در هنگام جزر از ۶ متر بیشتر نباشد جز تالاب‌ها به حساب می‌آیند (Ramsar Convention Secretariat, 2007) اکوسیستم‌های مرجانی محدوده مطالعاتی این پژوهش نیز در ردیف تالاب‌ها قرار دارند. تالاب‌ها، به عنوان محل تلاقی زیست‌بوم‌های خشکی و دریا (Qi *et al.*, 2021)، نقش مهمی در تصفیه آب، تنظیم آب و هوا، حفاظت از آب و خاک و تنوع زیستی دارند (Strayer & Dudgeon., 2010; Costanza *et al.*, 2014; Balogun *et al.*, 2020; Kuang *et al.*, 2020; Wang *et al.*, 2010; Zheng *et al.*, 2022).

یافته‌های به دست آمده این پژوهش با نتایج حاصل از طبقه‌بندی‌های انجام شده توسط Goldberg (۱۹۷۶)، Esteves و همکاران (۱۹۹۶)، Massoud و Commendatore (۲۰۰۷) و همچنین مطالعات میروکیلی و حاجی‌زاده‌ذاکر (۱۳۹۲) همخوانی دارد.

بحث و نتیجه‌گیری

امروزه خلیج فارس در معرض تخلیه مستقیم مواد از رودخانه‌ها، رواناب‌های سطحی و زهاب اراضی دور از ساحل، مواد خروجی صنعتی، خانگی و بسیاری دیگر از مواد آلاینده به‌ویژه آلودگی‌های نفتی قرار دارد. به علاوه تمام اکوسیستم‌های منحصر به فرد این مناطق نظر آبسنگ‌های مرجانی، بسترها علفی دریایی و جنگل‌های مانگرو در اثر فشار جمعیت و فعالیت‌های توسعه سواحل در روندی تخریبی قرار دارند. بر طبق نتایج به دست آمده درصد بالاتر ذرات دانه‌ریز سیلت و رس نسبت به ذرات دانه درشت ماسه در جزیره لاآن می‌تواند یکی از دلایل اصلی افزایش بار Mohebbi- (Nozar *et al.*, 2015) آلودگی نفتی در رسوبات دریایی آن جزیره باشد (Tolosa *et al.*, 2004). همچنین مجاورت اکوسیستم‌های مرجانی با تاسیسات نفتی (Zhang *et al.*, 2016)، نزدیکی به مناطق مسکونی و صنعتی از یکسو و وجود اسکله‌های صیادی و تجاری، تردد، تخلیه آب توازن و سوخت‌گیری انواع شناورها (خصوصاً سوخت قاچاق) و نفاشی شناورها از سوی دیگر را می‌توان از دلیل دلایل بالا بودن میزان هیدروکربن‌های نفتی در رسوبات دریایی جزایر لاآن و قشم Maktoof *et al.*, 2014; Monazami-Tehran *et al.*, 2016 در نظر گرفت. بر طبق نتایج به دست آمده در جزیره لاآن سطح بالای غلظت TPH از رسوبات جمع‌آوری شده در نزدیکی خط ساحلی به‌ویژه ایستگاه اول ناشی از فعالیت

- ساحلی دریای خزر، استان گیلان. مجله بوم‌شناسی آبیان، ۴۷(۴): ۱۷-۹.
- مرادی، م.، وارسته، ط. و نبیپور، ا. (۱۳۹۵) مرجان‌های خلیج فارس و مهندسی بافت. بوشهر: ناشر دانشگاه علوم پزشکی و خدمات بهداشتی درمانی، ۲۲۰ صفحه.
- میروکیلی، ح.س. و حاجیزاده‌ذکر، ن. (۱۳۹۲) غلطت و (TPH) منشا هیدروکربن‌های نفتی کل در خلیج فارس در رسوابات ساحلی جزیره خارک. مجله محیط‌شناسی، ۳۹(۴): ۱۳۷-۱۴۸.
- نامی، م.ح. (۱۳۹۶) ویژگی‌های خلیج فارس. فصلنامه مطالعات خلیج فارس، ۴(۲): ۴۸-۶۱.
- Fatemi, S.M.R. and Shokri, M.R. (2001) Iranian coral reefs status with particular reference to Kish Island, Persian Gulf. International Coral Reef Initiative Indian Ocean Regional Workshop. Muzambique. November: 13p.
- Anthony, K.R.N., Helmstedt, K.J., Bay, L.K., Fidelman, P., Hussey, K.E., Lundgren, P., Mead, D., McLeod, I.M., Mumby, P.J., Newlands, M., Schaffelke, B., Wilson, K.A. and Hardisty, P.E. (2020) Interventions to help coral reefs under global change a complex decision challenge. PLoS One, 15(8): 1-14. Retrieved from <https://doi.org/10.1371/journal.pone.0236399/>
- Balogun, A.L., Yeeken, S.T., Pradhan, B. and Althuwaynee, O.F. (2020) Spatio-temporal analysis of oil spill impact and recovery pattern of coastal vegetation and wetland using multispectral satellite landsat 8-OLI imagery and machine learning models. Remote Sensing, 12(7): 1225. Retrieved from <https://doi.org/10.3390/rs12071225/>
- Carpenter, A. (2019) Oil pollution in the North Sea: The impact of governance measures on oil pollution over several decades. Hydrobiologia, 845(1): 109-127.
- Commendatore, M.G. and Esteves, J.L. (2007) An assessment of oil pollution in the coastal zone of Patagonia, Argentina. Environmental Management, 40(5): 814-821.
- Costanza, R., de Groot, R., Sutton, P., van der Ploeg, S., Anderson, S.J., Kubiszewski, I., Farber, S. and Turner, R.K. (2014) Changes in the global value of ecosystem services. Global Environmental Change, 26(2014): 152-158. Retrieved from [https://doi.org/10.1016/j.gloenvcha.2014.01.001](https://doi.org/10.1016/j/gloenvcha.2014.01.001)
- Fatemi, S.M.R. and Shokri, M.R. (2001) Iranian coral reefs status with particular reference to Kish Island, Persian Gulf. International Coral Reef Initiative Indian Ocean Regional Workshop. Muzambique, November, 13p.
- Fouda, M. (1997) Overview on land-based sources and activities affecting the marine environment in ROPME Sea Area (DRAFT). Prepared for UNEP and ROPME.

منظور اهمیت صیانت از این اکوسیستم غنی، منحصر بهفرد و در عین حال جز آسیب‌پذیرترین منابع زیست‌محیطی خلیج فارس که عمله آنها زیستگاه‌های جانوران آبی مهم و بی‌شماری در زنجیره غذایی دریاها به شمار می‌روند، در گرو حفاظت از مناطق ساحلی و محیط‌زیست دریایی با رویکرد توسعه پایدار نمایان‌تر می‌گردد. با توجه به نیاز بخش‌های مختلف تحقیقاتی و واحدهای اجرایی شیلات کشور به تغییرات و نوسانات خصوصیات محدوده آبهای ایران در خلیج فارس و بهدلیل بروز وقایع مختلف زیست‌محیطی در این آبهای و بهویژه آلدگی‌های نفتی، لزوم انجام بررسی‌های مشابه به صورت مستمر در قالب طرح‌های پایش در سایر اکوسیستم‌های مرجانی جزایر خلیج فارس و در نهایت اجرای موثر کنوانسیون‌های بین‌المللی تصویب شده در راستای حفاظت از محیط‌زیست دریاها به منظور کاهش منابع آلاینده دریایی نفتی در کشور پیشنهاد می‌گردد.

منابع

- چگونیان، ا.م.، مختارزاده، م.، ولدان‌زوج، م.ج. و بلوكی، م. (۱۳۹۴) ارزیابی دقت طبقه‌بندی پوشش صخره‌های مرجانی با استفاده از تصاویر ماهواره لنست، ۸، مطالعه موردی خلیج فارس. مجله اقیانوس‌شناسی، ۶(۹): ۸۵-۹۳.
- سازمان جغرافیایی نیروهای مسلح. (۱۳۸۲) جغرافیای جزایر ایرانی خلیج فارس: استان هرمزگان: جزیره لوان. تهران: ناشر سازمان جغرافیایی نیروهای مسلح، ۲۸۸ صفحه.
- سیدهشتودی، م.، صالح، ا. و شیجونی‌فومنی، ن. (۱۳۹۶) ارزیابی اولیه از غلطت ترکیبات PAH در نمونه‌های رسوب و مرجان *Acropora downingi* جمع‌آوری شده از جزیره هنگام. مجموعه مقالات اولین همایش بین‌المللی اقیانوس‌شناسی غرب آسیا، تهران، ۸ و ۹ آبان ماه، ۴ صفحه.
- محمدی‌گلنگش، م.، صنعتی، ع.م. و بزرگ‌پناه، ز. (۱۳۹۷) بررسی هیدروکربن‌های نفتی کل (TPH) و فلزات شاخص (Ni & V) در گاماروس *Pontogammarus maeoticus* و رسوابات

- Environmental Monitoring and Assessment, 186(11): 7387-7398.
- Mohebbi-Nozar, S.L., Pauzi Zakaria, M., Seddiq Mortazawi, M., Salimizadeh, M., Momemi, M., Akbarzadeh, Gh.A. and Ismail, W.R. (2015) Total petroleum hydrocarbons in sediments from the coastline and mangroves of the northern Persian Gulf. *Marine Pollution Bulletin*, 95(1): 407-411.
- Monazami-Tehrani, G.H., Hshim, R., Sulaiman, A.H., Tavakoly-Sany, S.B., Khani-Jani, R. and Monazami-Tehrani, Z. (2012) Assessment of contamination by petroleum hydrocarbons in sediments of Musa Bay, Northwest of the Persian Gulf-Iran. International Conference on Environment, Energy and Biotechnology, Singapore, 33, 75-80.
- Monazami-Tehrani, G.H., Tavakoly-Sany, S.B., Hashim, R. and Salleh, A. (2016) Predictive environmental impact assessment of total petroleum hydrocarbons in petrochemical wastewater effluent and surface sediment. *Environmental Earth Sciences*, 75(2): 1-13.
- Monikh, F.A., Safahieh, A., Savari, A. and Doraghi, A. (2013) Heavy metal concentration in sediment, benthic, benthopelagic, and pelagicfish species from Musa Estuary (Persian Gulf). *Environmental Monitoring and Assessment*, 185(1): 215-222.
- MOOPAM. (2010) Manual of Oceanographic Observation and Pollutant Analyses Methods. Regional Organization for the Protection of the Marine Environment. Kuwait (ROPME), 585p.
- Noman, M.A., Feng, W., Zhu, G., Hossain, M.B., Chen, Y., Zhang, H. and Sun, J. (2022) Bioaccumulation and potential human health risks of metals in commercially important fishes and shellfishes from Hangzhou Bay, China. *Scientific Reports*, 12(1): 1-15.
- Paluselli, A., Fauvette, V., Schmidt, N., Galgani, F., Net, S. and Sempere, R. (2018) Distribution of phthalates in Marseille Bay (NW Mediterranean Sea). *Science of the Total Environment*, 621(2018): 578-587. Retrieved from <http://10.1016/j.scitotenv.2017.11.306/>
- Qi, Q., Zhang, D.J., Zhang, M.Y., Tong, S.Z., Wang, W.H. and An, Y. (2021) Spatial distribution of soil organic carbon and total nitrogen in disturbed *Carex* tussock wetland. *Ecological Indicator*, 120(2021): 106930. Retrieved from <https://doi.org/10.1016/j.ecolind.2020.106930/>
- Ramsar Convention Secretariat. (2007) Ramsar handbooks for the wise use of wetlands. 3rd eds, Ramsar Convention Secretariat: Gland, Switzerland, 30p.
- Ranjbar-Jafarabadi, A., Riyahi-Bakhtiyari, A., Shadmehri-Toosi, A. and Jadot, C. (2017) Spatial distribution, ecological and health risk assessment of heavy metals in marine surface sediments and coastal seawaters of fringing coral reefs of the Persian Gulf, Iran. *Chemosphere*, 185(2017): 1090-1111.
- Goldberg, E.D. (1976) The health of the oceans. UNESCO Press, Paris, 172p.
- Hakanson, L. (1980) An ecological risk index for aquatic pollution control. A sedimentological approach. *Water research*, 14(8): 975-1001.
- Halpern, B.S., Walbridge, S., Selkoe, K.A., Kappel, C.V., Micheli, F., d'Agrosa, C. and Watson, R. (2008) A global map of human impact on marine ecosystems. *Science*, 319(5865): 948-952.
- Hoegh-Guldberg, O., Poloczanska, E.S., Skirving, W. and Dove, S. (2017) Coral reef ecosystems under climate change and ocean acidification. *Frontiers in Marine Science*, 158(4): 20. Retrieved from <https://doi.org/10.3389/fmars.2017.00158/>
- Hughes, T.P., Barnes, M.L., Bellwood, D.R., Cinner, J.E., Cumming, G.S., Jackson, J.B.C., Kleypas, J., Van de Leemput, I.A., Lough, J.M., Morrison, T.H., Palumbi, S.R., Van Nes, E.H. and Abnd Scheffer, M. (2017) Coral reefs in the anthropocene. *Nature*, 546(7656): 82-90. Retrieved from <https://doi.org/10.1038/nature22901/>
- Kavousi, J., Seyfabadi, J., Rezai, H. and Fenner, D. (2011) Coral reefs and communities of Qeshm Island, the Persian Gulf. *Zoological Studies*, 50(3): 276-283.
- Kennish, M.J. (2002) Environmental threats and environmental future of estuaries. *Environmental Conservation*, 29(1): 78-107.
- Kuang, S.P., Dong, Z.W., Wang, B.C., Wang, H.H., Li, J.L. and Shao, H.B. (2021) Changes of sensitive microbial community in oil polluted soil in the coastal area in Shandong. China for Eco restoration. *Ecotoxicology and Environmental Safety*, 207(2021): 111551. Retrieved from <https://doi.org/10.1016/j.ecoenv.2020.111551/>
- Long, E.R., MacDonald, D.D., Smith, S.L. and Calder, F.D. (1995) Incidence of adverse biological effects within ranges of chemical concentrations in marine and estuarine sediments. *Environmental Management*, 19(1): 81-97.
- Maktoof, A.A., Alkhafajil, B.Y. and Al-janabi, Z.Z. (2014) Evaluation of total hydrocarbons levels and traces metals in water and sediment from Main Outfall Drain in Al-Nassiriya City/Southern Iraq. *Natural Resources*, 5(13): 795-803.
- Massoud, M.S., Al-Abdali, F., Al-Ghadban, A.N. and Al-Sarawi, M. (1996) Bottom sediments of the Arabian Gulf—II. TPH and TOC contents as indicators of oil pollution and implications for the effect and fate of the Kuwait oil slick. *Environmental Pollution*, 93(3): 271-284.
- Mille, G., Asia, L., Giuliano, M., Malleret, L. and Doumenq, P. (2007) Hydrocarbons in coastal sediments from the Mediterranean Sea (Gulf of Fos Area, France). *Marine Pollution Bulletin*, 54(5): 566-575.
- Mirza, R., Mohammadi, M., Faghiri, I., Abedi, E., Fakhri, A., Azimi, A. and Zahed, M.A. (2014) Source identification of polycyclic aromatic hydrocarbons (PAHs) in sediment samples from the northern part of the Persian Gulf, Iran.

- Tolosa, I., de Mora, S., Sheikholeslami, M.R., Villeneuve, J.P., Bartocci, J. and Cattini, C. (2004) Aliphatic and aromatic hydrocarbons in coastal Caspian Sea sediments. *Marine Pollution Bulletin*, 48(1-2): 44-60.
- Wang, X.Y., Feng, J. and Zhao, J.M. (2010) Effects of crude oil residuals on soil chemical properties in oil sites, Momoge Wetland. China. *Environmental Monitoring and Assessment*, 161(1): 271-280. Retrieved from <https://doi.org/10.1007/s10661-008-0744-1/>
- Yang, L., Chen, F., Zhang, L., Liu, J., Wu, S. and Kang, M. (2012) Comprehensive assessment of heavy metal contamination in sediment of the Pearl River estuary and adjacent shelf. *Marine Pollution Bulletin*, 64(9): 1947-1955.
- Zheng, X.X., Wang, H., Tao, Y., Kou, X. Ch., He, Ch.U. and Wang, Z.Q. (2022) Community diversity of soil meso-fauna indicates the impacts of oil exploitation on wetlands. *Ecological Indicators*, 144(2022): 109451. Retrieved from <https://doi.org/10.1016/j.ecolind.2022.109451/>
- Rhind, S.M. (2009) Anthropogenic pollutants: A threat to ecosystem sustainability. *Philosophical Transactions of The Royal Society B Biological Sciences*, 364(1534): 3391-3401. doi:10.1098/rstb.2009.0122/
- Richmond, R.H., Tisthammer, K.H. and Spies, N.P. (2018) The effects of anthropogenic stressors on reproduction and recruitment of corals and reef organisms. *Frontiers in Marine Science*, 5(2018): 226-226.
- Rodríguez-Barroso, M.R., García-Morales, J.L., Oviedo, C. and Quiroga Alonso, J.M. (2010) An assessment of heavy metal contamination in surface sediment using statistical analysis. *Environmental Monitoring Assessment*, 163(1): 489-501.
- Strayer, D.L. and Dudgeon, D. (2010) Freshwater biodiversity conservation: recent progress and future challenges. *North American Benthological Society*, 29(1): 344-358. Retrieved from <https://doi.org/10.1899/08-171.1/>

Investigation of total petroleum hydrocarbons in the peripheral sediments of the coral ecosystems of the Persian Gulf islands (Qeshm, Hengam and Lavan)

Mehdi Soltani¹, Saber Ghasemi^{2*} and Ehsan Kamrani³

1) Ph.D Student of Environmental Management, Department of Environmental Sciences, Bandar Abbas Branch, Islamic Azad University, Bandar Abbas, Iran.

2) Assistant Professor, Department of Environmental Sciences, Bandar Abbas Branch, Islamic Azad University, Bandar Abbas, Iran.

*Corresponding Author Email Address: saberghasemi@gmail.com

3) Professor, Department of Environmental Sciences, Bandar Abbas Branch, Islamic Azad University, Bandar Abbas, Iran.

Date of Submission: 2022/10/09

Date of Acceptance: 2022/12/26

Abstract

The second richest habitat on the planet after tropical forests is dedicated to coral ecosystems. This ecosystem plays a significant role in balancing the amount of carbon and nitrogen, maintaining coastlines against destruction caused by continuous waves, storms, floods, creating a marine environment, nutrients for the food chain, and also balancing the delicate system of nature. Today, the extraction, exploitation and transportation of oil have left the biggest role in the destruction of the coral coasts of the Persian Gulf. Samples of marine and coastal sediments of Qeshm, Hengam and Lavan coral islands from a depth of about 0-5 cm were randomly collected according to the MOOPAM method and the concentration of total petroleum hydrocarbons was measured by UVF device in $\mu\text{g/g}$ of sediment. The texture type of sediments indicated that the highest percentage of fine particles (Silt+Clay) in marine and coastal sediments of Lavan Island is 51.58% and 51.01%, respectively. The average detected concentrations of TPH are lower than the environmental risk background value (4 $\mu\text{g/g}$). The highest concentration of petroleum hydrocarbons is observed in the marine and coastal sediment stations of Lavan Island, which can be due to the facilities and activities of oil and fishing vessels in this island. Also, the assessment of the environmental risk caused by TPH pollution on aquatic organisms using indicators of sediment quality guidelines (SOGs) and contamination factor (C_f) showed that the investigated sediments do not have any adverse biological effects on aquatic organisms. Exploitation, marine transportation, oil spills and its derivatives are considered as one of the main reasons for the destruction and negative ecological effects on the coral reefs of the Persian Gulf, which this challenge of the need to protect the coastal areas and the environment makes marine life more obvious with a sustainable development approach.

Keywords: Environmental pollution, Persian Gulf, Sensitive ecosystem, Total Petroleum Hydrocarbons (TPHs).